

文章编号: 1004-0609(2005)09-1426-05

# 混合颗粒尺寸 $\text{Ni(OH)}_2$ 正极的制备及其充放电性能<sup>①</sup>

刘元刚, 唐致远, 徐 强, 柳 勇, 张晓阳

(天津大学 化工学院, 天津 300072)

**摘要:** 将沉淀转化法和无水乙醇法相结合, 制备出绿色球形  $\text{Ni(OH)}_2$  粉末。利用扫描电镜、X 射线衍射仪及充电电池测试装置, 对  $\text{Ni(OH)}_2$  粉末的表面形貌、相结构和充放电性能进行了表征。扫描电镜形貌分析表明  $\text{Ni(OH)}_2$  晶粒存在一定程度的微团聚, 颗粒尺寸介于 3~6  $\mu\text{m}$  之间, 小于生产用氢氧化镍的 8~12  $\mu\text{m}$ ; X 射线衍射结果表明  $\text{Ni(OH)}_2$  的衍射峰强度降低、半高宽(FWHM)增大, 晶型结构为  $\beta$ 型; 将该  $\text{Ni(OH)}_2$  颗粒按 3% (质量分数)与生产用氢氧化镍混合掺杂, 所制备的混合颗粒  $\text{Ni(OH)}_2$  正极的充电电位降低、放电电位升高,  $\text{Ni(OH)}_2$  的平均比容量提高约 20  $\text{mA} \cdot \text{h/g}$ 。

**关键词:**  $\beta$ 型氢氧化镍; 颗粒尺寸; 充放电电位

中图分类号: O 611.64

文献标识码: A

## Preparation of mixed particle sizes of $\text{Ni(OH)}_2$ electrode and its charge-discharge performance

LIU Yuan-gang, TANG Zhi-yuan, XU Qiang, LIU Yong, ZHANG Xiao-yang

(School of Chemical Engineering and Technology, Tianjin University, Tianjin 300072, China)

**Abstract:** By combining precipitation conversion method and anhydrous ethanol method, a kind of green spherical  $\text{Ni(OH)}_2$  powder was prepared. With the help of Cambridge S360 scanning electronic microscope, Philips APD-10 X-ray diffraction apparatus and BS-9380 secondary battery performance and life test device, the surface morphology, phase structure and charge-discharge performance of experimental  $\text{Ni(OH)}_2$  powders were characterized. The results show that the particle size of experimental  $\text{Ni(OH)}_2$  is 3~6  $\mu\text{m}$ , smaller than that of the employed production line  $\text{Ni(OH)}_2$  (8~12  $\mu\text{m}$ ). SEM analysis exhibits that some crystal grains of experimental  $\text{Ni(OH)}_2$  powders agglomerate to grow up to larger ones. XRD spectrum indicates that its crystal structure is  $\beta$  type with lower diffraction intensity and higher full width of half maximum intensity (FWHM). When experimental  $\text{Ni(OH)}_2$  was intermingled with employed production line nickel hydroxide at a mass ratio of 3%, the mixed positive electrode displays a lower charge potential and higher discharge potential as well as an increase of 20  $\text{mA} \cdot \text{h/g}$  in gravimetric capacity.

**Key words:**  $\beta$ - $\text{Ni(OH)}_2$ ; particle size; charge and discharge potential

随着全球电子信息业的迅速发展, 移动通讯、摄像机、电动汽车以及电动工具等对电池的需求量猛增, 促使与之配套的二次电池向小型化、高容量的方向发展。作为一种新型的、正在发展之中的可充电电池, 金属氢化物-镍电池(MH-Ni 电池)具有比容量高、耐过充放电能力好、无记忆效应、不存

在镉污染等优点, 成为国际上竞相研究开发的热点<sup>[1~3]</sup>。镍氢电池的容量由正极的容量决定, 因此, 高比容量的镍正极会极大提高电池的容量, 镍正极核心组分球型  $\text{Ni(OH)}_2$  性能的提高是改善镍氢电池整体性能的关键。球型氢氧化镍不仅是 MH-Ni 电池的正极活性物质, 也是镍锌、镍铁、镍镉电池

① 收稿日期: 2005-05-12; 修订日期: 2005-06-13

作者简介: 刘元刚(1978-), 男, 博士研究生。

通讯作者: 唐致远, 教授; 电话: 022-27892832; E-mail: zytang@tju.edu.cn

的正极材料, 因此, 研制高容量、高活性的球型氢氧化镍不仅可以大大提高镍氢电池的放电容量, 也可进一步改善镍系列电池的放电性能, 具有十分重要的意义<sup>[4, 5]</sup>。

本文作者将沉淀转化法(根据难溶化合物溶度积的不同, 控制转化条件以限制颗粒生长, 获得分散性较好的超微粒子)和无水乙醇法(采用无水乙醇体系制备金属氢氧化物)相结合制备出  $\text{Ni(OH)}_2$  超微粉末, 通过扫描电镜和 X 射线衍射分析对  $\text{Ni(OH)}_2$  的微观形貌、相结构进行了研究, 发现实验制绿色  $\text{Ni(OH)}_2$  颗粒微观外貌类似球形, 尺寸介于 3~6  $\mu\text{m}$  间(小于生产用氢氧化镍的尺寸 8~12  $\mu\text{m}$ ), 实验制  $\text{Ni(OH)}_2$  的晶体结构为  $\beta$  型, 以 3% 的比例将该  $\text{Ni(OH)}_2$  粉末与生产用氢氧化镍混合掺杂后制成电池正极, 其充电电位降低、放电电位升高、平均放电比容量约提高 20  $\text{mA} \cdot \text{h/g}$ 。

## 1 实验

采用 95% 乙醇做溶剂, 分别配制 0.2 mol/L 的  $\text{Ni(NO}_3)_2$  溶液 200 mL 和 0.2 mol/L 的  $\text{H}_2\text{C}_2\text{O}_4$  溶液 200 mL。室温条件下, 在磁力搅拌  $\text{Ni(NO}_3)_2$  乙醇溶液的过程中, 用酸式滴定管逐滴加入  $\text{H}_2\text{C}_2\text{O}_4$  溶液以制备  $\text{NiC}_2\text{O}_4$  前驱体, 离心分离后用去离子水清洗  $\text{NiC}_2\text{O}_4$  沉淀 3 次。60 °C 温度条件下, 恒温磁力搅拌 0.4 mol/L 的 KOH 水溶液(200 mL, 含 2 g/L 的 OP-10)的过程中, 逐渐加入绿色  $\text{NiC}_2\text{O}_4$  混浊液以制备  $\text{Ni(OH)}_2$ , 离心分离、去离子水多次清洗沉淀物, 并在 80 °C 烘干 12 h, 研磨后即得绿色  $\text{Ni(OH)}_2$  粉末。

通过 Cambridge S360 扫描电镜和 Philips APD-10 X 射线衍射仪对制得的  $\text{Ni(OH)}_2$  和生产用氢氧化镍进行微观形貌观察和 X 射线衍射谱对比测试, 以分析实验制  $\text{Ni(OH)}_2$  的微观形貌、颗粒尺寸和相结构。

以相同质量的生产用镍正极(质量增加均为 8.3 g, 纯  $\text{Ni(OH)}_2$  为 7 g, 余量为  $\text{CoO}$ 、60% PTFE 和导电剂)作对比, 将实验制  $\text{Ni(OH)}_2$  以 3% 的比例与生产用氢氧化镍进行混合掺杂, 添加适量的  $\text{CoO}$ 、60% PTFE 及导电剂后辊压制成正极, 用穿孔有机玻璃板夹紧隔膜/负极/隔膜/正极/隔膜/负极/隔膜极组, 将其置于  $\text{KOH} + \text{NaOH} + \text{LiOH}$  混合溶液中, 通过 BS9380 充电池测试装置, 以 200 mA 充电 16 h、搁置 15 min、400 mA 放至 1.0 V 的制度测试模拟电池的充放电曲线。

## 2 结果与讨论

### 2.1 $\text{Ni(OH)}_2$ 粉末的微观形貌

图 1 所示为实验制  $\text{Ni(OH)}_2$  粉末与生产用  $\text{Ni(OH)}_2$  的微观形貌。可以看出, 两种  $\text{Ni(OH)}_2$  粉末的外观都类似球形, 实验制  $\text{Ni(OH)}_2$  微晶尺寸较小, 界面不清晰。其原因为乙醇是较好的分散剂, 形成的  $\text{NiC}_2\text{O}_4$  前驱体颗粒细小、具有较高的分散性。当将  $\text{NiC}_2\text{O}_4$  前驱体滴加到 KOH 溶液中时, 开始形成的  $\text{Ni(OH)}_2$  微晶处在纳米级尺寸范围内, 表面能较高, 它们之间有相互聚集在一起的倾向, 在磁力搅拌的作用下, 游离的  $\text{Ni(OH)}_2$  晶粒向某一方向聚集的几率趋于相同, 使得氢氧化镍颗粒趋于球形生长<sup>[6]</sup>, 与形状不规则的氢氧化镍相比, 球形氢氧化镍具有颗粒形态, 流动性好, 有利于提高泡沫镍中氢氧化镍粉末的填充量的特性。除个别颗粒聚集、长大, 具有较大尺寸外, 实验制  $\text{Ni(OH)}_2$  粉末的颗粒半径小于生产用  $\text{Ni(OH)}_2$  的。图 2 所示为两种  $\text{Ni(OH)}_2$  粉末的微观形貌, 实验制  $\text{Ni(OH)}_2$  粉末的颗粒尺寸(3~6  $\mu\text{m}$ )约为生产用  $\text{Ni(OH)}_2$  的一半。比较图 2(a) 和 2(b) 可以看出,

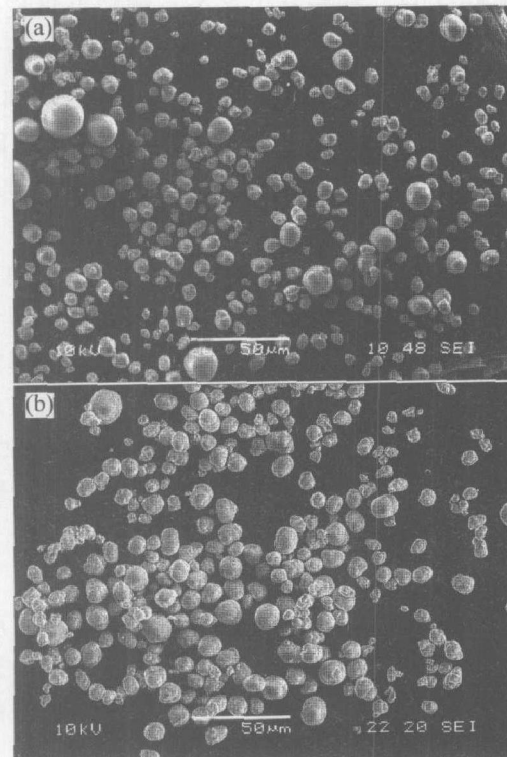


图 1 两种  $\text{Ni(OH)}_2$  粉末的微观形貌

Fig. 1 Micrographs of

two  $\text{Ni(OH)}_2$  particles (SEM)

(a) —Experimental  $\text{Ni(OH)}_2$ ; (b) —Employed  $\text{Ni(OH)}_2$

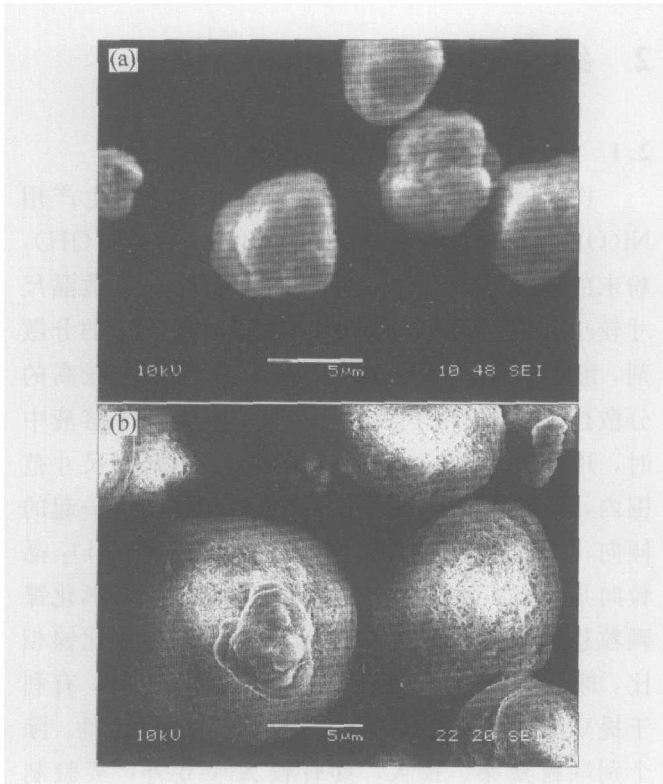


图2 两种  $\text{Ni}(\text{OH})_2$  粉末的微观形貌

### Fig. 2 Micrographs of

two  $\text{Ni}(\text{OH})_2$  particles (SEM)

(a) —Experimental  $\text{Ni}(\text{OH})_2$ ; (b) —Employed  $\text{Ni}(\text{OH})_2$

实验制  $\text{Ni}(\text{OH})_2$  颗粒是由多个小颗粒聚集长大形成的，可能是因为在制备过程中，虽然表面活性剂 OP-10 能够覆在新生成的  $\text{Ni}(\text{OH})_2$  颗粒表面，形成微胞状态以抑制  $\text{Ni}^{2+}$  和  $\text{OH}^-$  在新生成的  $\text{Ni}(\text{OH})_2$  表面生长，并使  $\text{Ni}(\text{OH})_2$  颗粒之间产生斥力，阻碍新生成的  $\text{Ni}(\text{OH})_2$  颗粒间相互作用而发生团聚<sup>[7, 8]</sup>，但  $\text{Ni}(\text{OH})_2$  颗粒在烘干过程中由于相互接触，不可避免地发生一定程度团聚。即使如此，实验制  $\text{Ni}(\text{OH})_2$  颗粒尺寸仍低于生产用氢氧化镍，生产用  $\text{Ni}(\text{OH})_2$  虽然具有较大的颗粒尺寸(8~12  $\mu\text{m}$ )，但表面呈纤维状，存在较多孔隙，有利于电解液的渗入、质子的传输和提高表面活性。

## 2.2 $\text{Ni}(\text{OH})_2$ 的 X 射线衍射分析

图3 所示为实验制  $\text{Ni}(\text{OH})_2$  粉末与生产用  $\text{Ni}(\text{OH})_2$  的 X 射线衍射谱。两种  $\text{Ni}(\text{OH})_2$  粉末的衍射角度十分接近，如实验制  $\text{Ni}(\text{OH})_2$  粉末的衍射角分别为  $18.68^\circ$ 、 $33.10^\circ$ 、 $38.52^\circ$ 、 $51.88^\circ$ 、 $59.14^\circ$ 、 $62.64^\circ$  和  $69.80^\circ$ ，生产用  $\text{Ni}(\text{OH})_2$  粉末的衍射角为  $19.10^\circ$ 、 $33.08^\circ$ 、 $38.54^\circ$ 、 $51.80^\circ$ 、 $59.02^\circ$ 、 $62.68^\circ$  和  $69.42^\circ$ ，各衍射角的对应晶面(001)、(100)、(101)、(102)、(110)、(111)和(200)的衍射

峰也均已出现<sup>[9]</sup>，说明二者具有相同的晶体结构，均为  $\beta\text{-Ni}(\text{OH})_2$ ，具有层状水镁石[ $\text{Mg}(\text{OH})_2$ ]结构；也可根据布拉格公式  $2d \sin \theta = \lambda$ ，计算得出(001)晶面的面间距为  $0.4736 \text{ nm}$ ，略大于完整晶体  $\beta\text{-Ni}(\text{OH})_2$  的层间距  $c = 0.4605 \text{ nm}$ 。相对于完整晶型  $\beta\text{-Ni}(\text{OH})_2$ ，实验制  $\text{Ni}(\text{OH})_2$  的晶面衍射角存在一定偏差，说明实验制  $\text{Ni}(\text{OH})_2$  存在较明显的晶格畸变和缺陷。另外，衍射峰半高宽  $F$  是指 X 射线衍射球型氢氧化镍所得的特征峰半高处的宽度，它是晶粒大小的间接表征参数，半高宽值越大，表明晶粒越细小<sup>[4, 10]</sup>。可以看出，实验制  $\text{Ni}(\text{OH})_2$  粉末的衍射峰明显宽化，(001)、(101)和(102)晶面的半高宽  $F$  的大小高于生产用氢氧化镍。有研究表明<sup>[11]</sup>，当(001)晶面和(101)晶面的衍射峰半高宽分别大于  $0.7^\circ$  和  $0.8^\circ$  时，制备的  $\text{Ni}(\text{OH})_2$  具有晶粒细化和产生晶格畸变，从而使电化学活性好、活性物质利用率高和提高高倍率充放电性能的特点，实验制  $\text{Ni}(\text{OH})_2$  的(001)晶面和(101)晶面的衍射峰半高宽分别为  $1.02^\circ$  和  $1.04^\circ$ ，而生产用氢氧化镍(001)晶面和(101)晶面的衍射峰半高宽分别为  $0.32^\circ$  和  $0.48^\circ$ ，说明实验制  $\text{Ni}(\text{OH})_2$  具有较好的电化学性能。相比较而言，实验制  $\text{Ni}(\text{OH})_2$  所有晶面的衍射峰强度降低，衍射峰宽化，这主要是因为实验制  $\text{Ni}(\text{OH})_2$  的颗粒尺寸较小和晶体结构存在缺陷导致<sup>[12]</sup>，即由晶粒细化和晶格畸变产生，这些畸变和缺陷对衍射峰宽化的影响使得以 Scherrer 公式( $D = K \lambda / (\beta \cos \theta)$ ,  $K = 0.89$ ,  $\lambda = 0.15406 \text{ nm}$ ,  $\beta$  为衍射峰半高宽)，计算得出的晶体颗粒的平均粒径比实际情况严重偏小<sup>[13]</sup>。

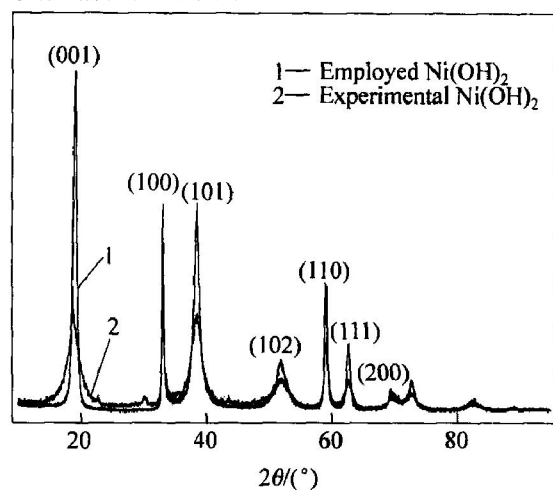


图3 两种  $\text{Ni}(\text{OH})_2$  粉末的 X 射线衍射谱

Fig. 3 XRD patterns of experimental and employed  $\text{Ni}(\text{OH})_2$  particles

### 2.3 两种镍正极的充放电性能

图 4 和 5 所示分别为两种镍正极在碱液中的充、放电曲线。与生产用镍正极相比, 混合掺杂 3% 实验制  $\text{Ni(OH)}_2$  的镍正极在 200 mA 充电 250 min 以后, 充电电压就开始低于生产用镍正极, 特别是在 400~700 min 内的电压约低 10~20 mV, 在充电前期的 4 h, 混合掺杂的镍正极与生产用球镍正极之间的充电电位十分接近, 最多相差不过 2 mV; 随充电时间的延长, 二者之间充电电位的差距逐渐扩大, 在 560~580 min 时达到最大值, 此时混合掺杂正极比生产用球镍正极的充电电位低 19 mV; 随后二者之间的差距又不断缩小, 在充电末期即 200 mA 充电 16 h 时又都接近 1.442 V。根据实际观察的充电情况, 在充电 400 min 后, 生产用镍正极表面开始有气体生成, 而充电 600 min 即充满额定电量后混合掺杂镍正极表面才开始析出气体, 说明混合掺杂可以有效降低镍电极的氧化电位、提高析氧反应的过电位。如图 5 所示, 混合掺杂的镍正极具有较高的放电电压和放电容量, 放电 5 min 以后, 混合掺杂镍正极的放电电压就开始高于生产用镍正极, 特别是在放电 200 min 后, 放电电位约高 30~50 mV, 并且放电平台稳定,  $\text{Ni(OH)}_2$  的平均放电比容量约提高 20 mA · h/g (混合颗粒尺寸的镍正极放电容量为 1 832 mA · h, 而生产用球镍正极则为 1 701 mA · h)。其原因是由于混合掺杂小颗粒尺寸的  $\text{Ni(OH)}_2$ , 填补了原有  $\text{Ni(OH)}_2$  颗粒之间的空隙, 减小了粉末颗粒间的接触电阻, 增大  $\text{Ni(OH)}_2$  活性物质与电解液之间的接触面积, 缩短质子在固体颗粒内部的迁移路径, 有效地延迟充电过程中析氧副反应的发生, 提高充、放电效率, 从而更加充分地挖掘氢氧化镍的电化学容量<sup>[14~17]</sup>。

由此可见,  $\text{Ni(OH)}_2$  的粒径大小对  $\text{Ni(OH)}_2$  的活性有很大影响。如果颗粒过小, 在充放电过程中  $\text{Ni(OH)}_2$  微粒容易从发泡镍骨架中脱落, 造成容量显著降低, 若要防止脱粉, 势必要增加粘结剂用量, 造成球体颗粒之间接触电阻的增大, 活性降低; 如果颗粒过大, 比表面减小, 固液接触面减小, 同时从颗粒表面到内部的路径增加, 加大了质子向固体颗粒内部传输的阻力,  $\text{Ni(OH)}_2$  的利用率受到的影响。总之, 对于正极活性物质  $\text{Ni(OH)}_2$  的研究, 关键是如何能够合理搭配、使用不同颗粒尺寸的  $\text{Ni(OH)}_2$  超微粉, 以实现最佳的电极充放电性能。

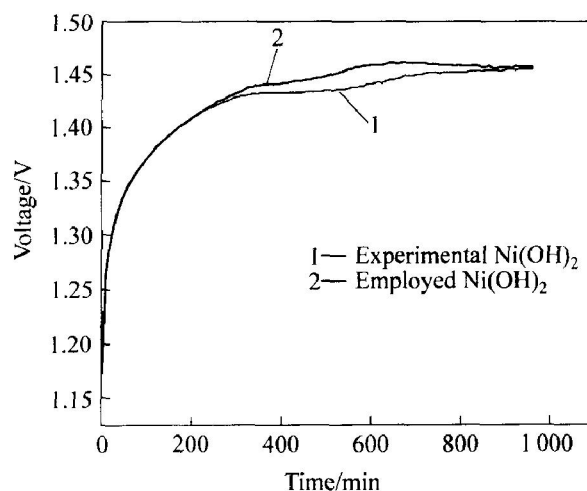


图 4 碱液中两种镍正极的充电曲线

**Fig. 4** Charge performances of two positive electrodes in alkaline solution  
(200 A, 16 h)

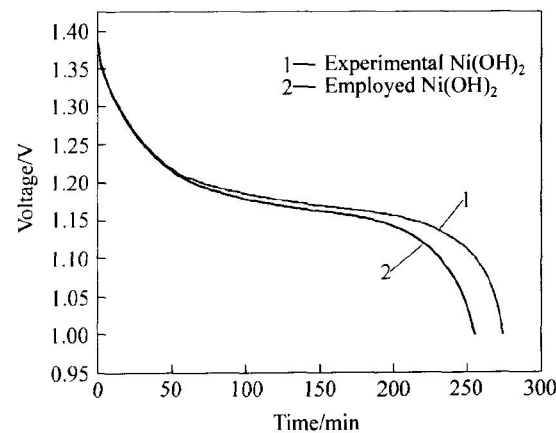


图 5 400 mA 时碱液中两种镍正极的放电曲线

**Fig. 5** Discharge performances of two positive electrodes in alkaline solution at 400 mA

### 3 结论

- 1) 用无水乙醇法和沉淀转化法相结合制备颗粒尺寸介于 3~6  $\mu\text{m}$  的绿色  $\text{Ni(OH)}_2$  粉末, 其粒径小于生产用氢氧化镍的 8~12  $\mu\text{m}$ 。
- 2) 实验制  $\text{Ni(OH)}_2$  属于  $\beta$  型结构, 各衍射峰强度降低、衍射峰宽化, 衍射半高宽增大。
- 3) 相对于生产用镍正极, 混合掺杂实验制得的  $\text{Ni(OH)}_2$  镍电极具有充电电位低、放电电位高的优点,  $\text{Ni(OH)}_2$  的平均放电比容量约提高 20 mA · h/g。

## REFERENCES

- [1] 李景虹. 先进电池材料[M]. 北京: 化学工业出版社, 2004. 115.  
LI Jing-hong. Advanced Battery Materials [M]. Beijing: Chemical Industry Press, 2004. 115.
- [2] 尹树峰, 李全安, 文九巴. MH-Ni 电池的发展[J]. 上海有色金属, 2003, 24(4): 191~196.  
YIN Shufeng, LI Quan'an, WEN Jiuba. Development of MH-Ni battery [J]. Shanghai Nonferrous Metals, 2003, 24(4): 191~196.
- [3] 穆举国, 韩连发, 张文宽. 金属氢化物镍蓄电池的应用[J]. 电池工业, 2003, 8(1): 28~30.  
MU Juguo, HAN Lianfa, ZHANG Wenkuan. Application of MH-Ni batteries [J]. Chinese Battery Industry, 2003, 8(1): 28~30.
- [4] 申勇峰. 影响球形氢氧化镍质量的因素分析与控制[J]. 湿法冶金, 2002, 21(2): 76~80.  
SHEN Yong-feng. Analysis and control of factors of influencing quality of spherical nickel hydroxide [J]. Hydrometallurgy of China, 2002, 21(2): 76~80.
- [5] 彭美勋, 王零森, 沈湘黔, 等.  $\beta$ 球形氢氧化镍的微观结构及其形成机理[J]. 中国有色金属学报, 2003, 13(5): 1130~1135.  
PENG Meixun, WANG Ling-seng, SHEN Xiang-qian, et al. Microstructures and formation mechanism of spherical  $\beta$ -Ni(OH)<sub>2</sub> [J]. The Chinese Journal of Nonferrous Metals, 2003, 13(5): 1130~1135.
- [6] 陈惠, 王建明, 潘滔, 等. Al 与 Zn 复合取代  $\alpha$ -Ni(OH)<sub>2</sub> 的结构和电化学性能[J]. 中国有色金属学报, 2003, 13(1): 85~90.  
CHEN Hui, WANG Jianming, PAN Tao, et al. Structure and electrochemical performance of Al and Zn co-substituted  $\alpha$ -Ni(OH)<sub>2</sub> [J]. The Chinese Journal of Nonferrous Metals, 2003, 13(1): 85~90.
- [7] 刘小虹, 余兰. 碱性电池用纳米氢氧化镍研究进展[J]. 电源技术, 2003, 27(5): 475~478.  
LIU Xiaohong, YU Lan. Recent development of nano-scale nickel hydroxide for alkaline batteries [J]. Chinese Journal of Power Sources, 2003, 27(5): 475~478.
- [8] 林才顺. 电池正极材料纳米氢氧化镍的制备新近展[J]. 湿法冶金, 2004, 23(2): 61~65.  
LIN Caishun. New development in preparation of nanometer nickel hydroxide used as cathode material [J]. Hydrometallurgy of China, 2004, 23(2): 61~65.
- [9] WANG Xianyou, LUO He'an, Parkhutik P V, et al. Studies of the performance of nanostructural multi-phase nickel hydroxide [J]. Journal of Power Sources, 2003, 115: 153~160.
- [10] SONG Quansheng, TANG Zhixuan, GUO Heting, et al. Structural characteristics of nickel hydroxide synthesized by a chemical precipitation route under different pH values [J]. Journal of Power Sources, 2002, 112: 428~434.
- [11] 袁安保, 张鉴清, 曹楚南. 镍电极研究进展[J]. 电源技术, 2001, 25(1): 53~59.  
YUAN Anbao, ZHANG Jianqing, CAO Chunnan. Research progress of nickel hydroxide electrodes [J]. Chinese Journal of Power Sources, 2001, 25(1): 53~59.
- [12] 郭建忠, 赵丽华, 李志萍, 等. 氢氧化镍超微粉的制备研究及微观结构分析[J]. 陶瓷学报, 2003, 24(3): 160~163.  
GUO Jianzhong, ZHAO Lihua, LI Zhiping, et al. The study on preparation of ultrafine powders of nickel hydroxide and the analysis of microstructure of Ni(OH)<sub>2</sub> [J]. Journal of Ceramics, 2003, 24(3): 160~163.
- [13] 王培铭, 许乾慰. 材料研究方法[M]. 北京: 科学出版社, 2005. 123.  
WANG Peiming, XU Qianwei. The Research Methods of Materials [M]. Beijing: Science Press, 2005. 123.
- [14] 余丹梅, 陈昌国, 周上祺, 等. 机械研磨对氢氧化镍结构和电化学性能的影响[J]. 电池, 2003, 33(4): 215~217.  
YU Danmei, CHEN Changguo, ZHOU Shangqi, et al. Effects of mechanical grinding on the structure and electrochemical property of nickel hydroxide [J]. Battery Bimonthly, 2003, 33(4): 215~217.
- [15] Jayashree R S, Vishnu K P. Nickel hydroxide electrode deposition from nickel nitrate solutions: mechanistic studies [J]. Journal of Power Source, 2001, 93: 273~278.
- [16] Acharya R, Subbaiah T, Anand S, et al. Effect of preparation parameters on electrolytic behavior of turbostratic nickel hydroxide [J]. Materials Chemistry and Physics, 2003, 81: 45~49.
- [17] 刘敏, 韩恩山, 朱令之, 等. 氢氧化镍的制备及其电化学行为研究进展[J]. 电源技术, 2002, 26(3): 172~175.  
LIU Min, HAN Enshan, ZHU Lingzhi, et al. Development of preparation and electrochemical behavior of nickel hydroxide [J]. Chinese Journal of Power Sources, 2002, 26(3): 172~175.

(编辑 龙怀中)